



Investigation of the Summer Climate of North America: A Study with a Regional Atmospheric Model

Investigación del Clima del Verano en Norteamérica: Un Estudio con un Modelo Atmosférico Regional

Christopher L. Castro
Department of Atmospheric Sciences, Colorado State University
Department of Atmospheric Sciences, University of Arizona (July 2004)
E-mail: ccastro@atmos.colostate.edu

Roger A. Pielke, Sr.
CIRES, University of Colorado at Boulder

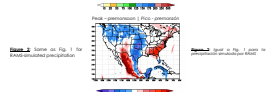
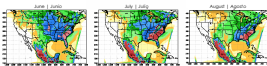
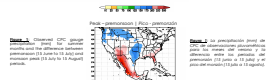
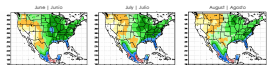
Jimmy O. Adigeles
Laboratory for Climate Analysis and Modeling
Department of Geological Engineering
University of Missouri, Kansas City



1. Introduction

The use of a regional climate model to study the summer weather of North America has many advantages. Global atmospheric models are global models and are currently available for a period greater than fifty years and include large-scale climate variability. However, because of the time resolution they cannot represent important details like the diurnal cycle of convection, low-level winds that transport moisture toward the continental interior, and the seasonal migration of rainfall of the North American monsoon. Simulation results with the CCM3-RAMM model (see below) which use the RCM3-AMM Global Reanalysis (1990 to 2000) of the National Weather Service are presented. In this summary, emphasis is placed on the climate simulation and interannual variability associated with remote sea surface temperatures (SST).

2. Summer Precipitation

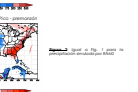
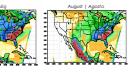
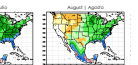


The evolution of RAMM-simulated precipitation is reasonable. First, to monsoon onset there is a rapid maximum in the central US, and a gradual minimum in the core monsoon region. The development of the monsoon in July and August changes the continental distribution of precipitation, with a dramatic increase in the core monsoon region. The amount of precipitation from the monsoon is greatest, as demonstrated, in conjunction with observations, in the region of the Colorado River. The amount of precipitation is also the highest in the area, which is very likely, especially in the southern US, up to the Santa Lucias Occidental in Mexico.

1. Introducción

El uso de un modelo regional climático para estudiar el tiempo en el verano en Norteamérica tiene muchas ventajas. Actualmente se dispone de modelos atmosféricos globales y de modelos globales para un periodo de más de cincuenta años, que incluyen variabilidad climática de gran escala. Sin embargo, debido a la baja resolución no pueden representar detalles importantes como el ciclo diario de la convección, los vientos de niveles bajos que transportan humedad hacia el interior del continente, y el migrado estacional de lluvias de monzón norteamericano. De presentarse los resultados de simulaciones hechas a calor con el modelo RAMM de CSU (de 1990 a 2000) usando los datos de reanálisis de NCEP-NCAR (1990 a 2000) como condición inicial se muestra. En este resumen, se pone énfasis en la simulación del clima y en la variabilidad interanual asociada con las temperaturas superficiales del mar (TSM) en regiones oceánicas.

2. Precipitación en el Verano



La evolución de la precipitación simulada por RAMM es razonable. Antes del inicio del monzón existe un máximo de lluvias en el centro de los EE.UU. y un mínimo de lluvias en la región central del continente. El desarrollo del monzón en julio y agosto cambia la distribución continental de la precipitación, con un dramático incremento en la zona central del monzón. La cantidad de precipitación en el monzón es la mayor, como se demuestra, en conjunto con las observaciones, en la zona del río Colorado. La cantidad de precipitación es también la mayor en el área, que es muy probable, especialmente en el sur de los Estados Unidos, hasta las Sierritas Occidentales en México.

3. Modes of Convection

Axis-symmetric steady flow convergence (SFC) is used to investigate long-term modes of convection. SFC is developed using linear theory for each year for a twenty-five-year period. The average of each SFC is computed and multiplied by the fraction that it above the rest. Three distinct spatial bands appear, each associated with different rainfall mechanisms.

Modo de convección 1 (1 a 10 días): Corresponde con surges of moisture from the Gulf of California and the associated passage of upper-level westerly disturbances. Above convection in the core monsoon region to aggregate into mesoscale convective complexes that propagate westward from the mountains.

Modo de convección 2 (11 a 20 días): Corresponde with mesoscale convective complexes in the central US. That propagate southeast.

Modo de convección 3 (21 a 30 días): Corresponde with convection that originates from the Gulf of California and propagates eastward. It is the dominant, and the most important, mechanism for summer rainfall.

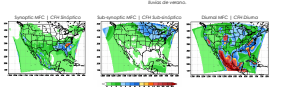


Fig. 3. Weighted spatial maps of RAMM-simulated July 2000-2001 peak daily flow for the three distinct spatial bands.

4. Global SST Patterns

To investigate interannual climate variability in the RAMM simulation, the dominant pattern of summer global SST and that associated with the monsoon are analyzed. The principal component analysis (PCA) SST modes 1 and 2 are centered in the Pacific and merge from north to south across the climate. SST mode 1 is SSO and varies on a timescale between 2 and 5 years. SST mode 2 is primarily related to the Pacific Decadal Oscillation. SST mode 3 affects an increase in tropical SST since 1980 which could be an climate change signal. These modes were also determined to be statistically significant in four using multivariate regression value decomposition analysis.

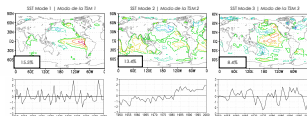


Fig. 4. The first three global summer SST modes (1950 to 2000) and their associated correlation with the monsoon. The correlation is shown as a shaded area. The first three global summer SST modes (1950 to 2000) and their associated correlation with the monsoon are shown as shaded areas. The first three global summer SST modes (1950 to 2000) and their associated correlation with the monsoon are shown as shaded areas.

3. Modos de la Convección

La convergencia del flujo de simetría axial (SFC) simulado por RAMM se usó para investigar los modos de convección que ocurren temporalmente. La SFC se desarrolló usando teoría lineal para cada año por un periodo de veinticinco años. El promedio de cada SFC se calculó y multiplicó por la fracción que lo sobrepasa al resto. Se obtuvieron tres bandas espaciales distintas, cada una asociada con un mecanismo diferente de lluvias.

Modo de convección 1 (1 a 10 días): Corresponde a los surges de humedad desde el Golfo de California y el paso asociado de perturbaciones de vientos de niveles altos que se propagan hacia el este.

Modo de convección 2 (11 a 20 días): Corresponde a una compleja de complejos convectivos en el centro de los EE.UU. que se propagan hacia el este.

Modo de convección 3 (21 a 30 días): Corresponde a la convección que ocurre en el centro del Golfo de California y se propaga hacia el este. Es la dominante, y el mecanismo más importante para las lluvias de verano.

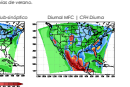


Fig. 3. Weighted spatial maps of CCM3-simulated July 2000-2001 peak daily flow for the three distinct spatial bands.

4. Patrones Globales de la TSM

Para investigar la variabilidad interanual del clima en la simulación por RAMM, los patrones dominantes de la TSM y los asociados con el monzón se analizaron. El análisis de componentes principales (PCA) de los modos SST 1 y 2 están centrados en el Pacífico y cubren desde el norte hasta el sur de América del Norte y del Sur. El modo 1 es SSO y varía en un tiempo entre 2 y 5 años. El modo 2 se relaciona con la Oscilación Decadal del Pacífico. El modo 3 afecta un aumento de la TSM tropical desde 1980 que podría ser una señal de cambio climático. Estos modos también se determinaron estadísticamente significativos en cuatro usando análisis de descomposición singular multivariante del valor de los datos y el tiempo.

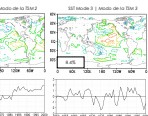


Fig. 4. Los primeros tres modos globales de la TSM (1950 a 2000) y sus correlaciones con el monzón. La correlación se muestra como un área sombreada. Los primeros tres modos globales de la TSM (1950 a 2000) y sus correlaciones con el monzón se muestran como áreas sombreadas.

5. Summer Teleconnections

Teleconnections are calculated by the dominant SST modes in the Pacific using composite analysis. Specific and significant patterns are identified for each mode. These are associated with the SST modes in the Pacific. These patterns include changes in the monsoon onset, timing, and beginning of the summer. At that time, the position and the amount of the monsoon ridge is modified. When the upper-level wind in the Pacific direction of the end of July, the onset of the monsoon wave is observed and the teleconnections occur.

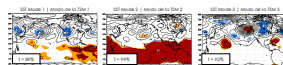


Fig. 5. SST modes 1 (mode 1 of the TSM), SST mode 2 (mode 2 of the TSM), and SST mode 3 (mode 3 of the TSM) are associated with the monsoon onset. Areas of significant teleconnections are shown in red and blue. The significance is shown as shaded areas.

5. Teleconexiones en el Verano

Las teleconexiones se calculan con los modos dominantes de la TSM usando análisis de composites. Patrones específicos y significativos se identifican para cada modo. Estos están asociados con los modos de la TSM en el Pacífico. Estos patrones incluyen cambios en el inicio del monzón, su tiempo de inicio y el comienzo del verano. En ese momento, la posición y la cantidad de la cresta del monzón se modifican. Cuando el viento de niveles altos en el Pacífico del fin de julio, el inicio de la onda de monzón se observa y las teleconexiones ocurren.

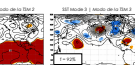


Fig. 5. Modos de la TSM 1 (modo 1 de la TSM), modo 2 (modo 2 de la TSM) y modo 3 (modo 3 de la TSM) están asociados con el inicio del monzón. Áreas de teleconexiones significativas se muestran en rojo y azul. La importancia se muestra como áreas sombreadas.

6. Model Interannual Variability

The teleconnections associated with the interannual varying global SST modes accurately or delay the onset of the monsoon. This implies the well-known equator-relationship in summer rainfall between the central US and core monsoon region. The recent increase in tropical SST is associated with an increase in summer rainfall in the US and eastern Mexico. However, the trends also need to gauge observations. The interannual variability of global SST shows that the correlation divide clearly separate regions with different teleconnections between precipitation and remote SST.

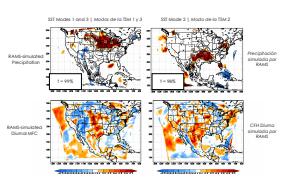


Fig. 6. RAMM-simulated precipitation anomalies (mm) and the associated correlation with the interannual varying global SST modes (1950 to 2000) are shown as shaded areas. The first three global summer SST modes (1950 to 2000) and their associated correlation with the monsoon are shown as shaded areas.

6. Variabilidad Interanual en el Modelo

Las teleconexiones asociadas con los modos de la TSM global que varían interanualmente accionan o retrasan el inicio del monzón. Esto implica la relación equator-relationship en la precipitación entre el centro de los EE.UU. y la región central del monzón. El aumento reciente en la TSM tropical está asociado con un aumento de la precipitación en el verano en los EE.UU. y en el este de México. Sin embargo, los tendencias también necesitan ser evaluadas con las observaciones. La variabilidad interanual de la TSM global muestra que la correlación divide claramente regiones con diferentes teleconexiones entre la precipitación y la TSM en regiones oceánicas.

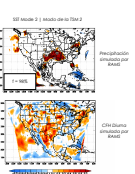


Fig. 6. Los cambios de la precipitación (mm) simulada por RAMM y sus correlaciones con los modos de la TSM global que varían interanualmente (1950 a 2000) se muestran como áreas sombreadas. Los primeros tres modos globales de la TSM (1950 a 2000) y sus correlaciones con el monzón se muestran como áreas sombreadas.